

SKRĘPOWANE SKRĘCANIE PRYZMATYCZNYCH PRĘTÓW O BISYMETRYCZNYCH, ZWARTYCH PRZEKROJACH

KRYSZYNA MAZUR-ŚNIADY

Politechnika Wroclawska

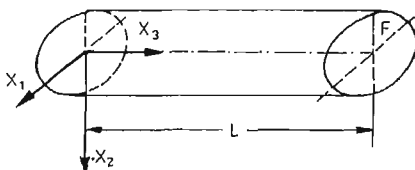
Przedstawiona w niniejszej pracy techniczna teoria skrępowanego skręcania pryzmatycznych prętów o bisymetrycznych, zwartych przekrojach została wyprowadzona w ramach mechaniki analitycznej kontinuum materialnego Cz. Woźniaka [1].

Znane teorie skręcania skrępowanego prętów o zwartych przekrojach bazowały na klasycznej teorii sprężystości uzupełnionej dodatkowymi hipotezami, ograniczając się z konieczności do konkretnych kształtów przekroju poprzecznego (np.: elipsy [2], prostokąta [3]). Szczególną trudność sprawiała realizacja sztywnego utwierdzenia całego przekroju podporowego, na co zwracał uwagę W. Burzyński [4].

Sposób podejścia do zagadnienia stosowany w niniejszej pracy jest oryginalny, otrzymana teoria jest wewnętrznie niesprzeczna. Pojęcie więzów pozwala na przyjęcie zupełnie dowolnych warunków brzegowych, a ponadto pozwala na weryfikację otrzymanych wyników.

1. Wyprowadzenie równań¹⁾

Przedmiotem rozważań jest pręt, zajmujący w konfiguracji odniesienia obszar $\Omega = F \times P$, gdzie F jest jednospójnym obszarem na płaszczyźnie OX_1X_2 , ograniczonym krzywą odcinkami gładką, symetrycznym względem osi X_1 i X_2 , a P jest odcinkiem $\langle 0, L \rangle$ osi X_3 kartezjańskiego prostokątnego układu współrzędnych (rys. 1).



Rys. 1.

¹⁾ Wskaźniki greckie α, β przebiegają ciąg 1, 2, wskaźniki łacińskie i, j, m przebiegają ciąg 1, 2, 3. Obowiązuje umowa sumacyjna względem wszystkich wskaźników. Przecinek poprzedzający wskaźnik oznacza pochodną cząstkową względem odpowiedniej współrzędnej materialnej, kropka nad symbolem oznacza pochodną względem czasu. Kropka między symbolami oznacza iloczyn skalarowy wektorów i macierzy, natomiast mnożenie macierzy przez macierz i macierzy przez wektor zapisuje się bez użycia znaku działania.

Pręt jest utwierdzony w przekroju $X_3 = 0$.

Gęstość masy pręta oznacza się $\rho = \rho(X)$, pole zewnętrznych obciążeń masowych $\mathbf{b} = (b_1, b_2, b_3)$, zaś pole zewnętrznych obciążeń powierzchniowych $\mathbf{p} = (p_1, p_2, p_3)$.

Równania ogólnej teorii skręcania prostych pryzmatycznych prętów wyprowadzone na podstawie mechaniki analitycznej kontinuum materialnego [1] przedstawiono w [5].

Teoria ta opiera się na założeniu nieodkształcalności rzutów przekrojów poprzecznych pręta na płaszczyzny prostopadłe do osi pręta, co realizują więzy wewnętrzne narzucone na funkcję deformacji $\chi(X, t)$:

$$\chi_{,\alpha}^m \chi_{m,\beta} = \delta_{\alpha\beta}, \quad (1.1)$$

$$\text{gdzie: } \delta_{\alpha\beta} = \begin{cases} 0 & \text{dla } \alpha \neq \beta, \\ 1 & \text{dla } \alpha = \beta. \end{cases}$$

Wyrażając funkcję deformacji za pomocą wektora przemieszczenia $\mathbf{u} = \chi - X$, otrzymuje się po linearyzacji i scałkowaniu:

$$\begin{aligned} u_1 &= \psi_1 - \varphi X_2, \\ u_2 &= \psi_2 + \varphi X_1, \\ u_3 &= \zeta, \end{aligned} \quad (1.2)$$

gdzie: $\varphi = \varphi(X_3, t)$, $\psi_\alpha = \psi_\alpha(X_3, t)$, $\zeta = \zeta(X_1, X_2, X_3, t)$ są dowolnymi, niezależnymi, różniczkowalnymi funkcjami wszystkich argumentów, pełniącymi rolę współrzędnych uogólnionych. Funkcja φ jest kątem obrotu, ψ_α są przesunięciami rzutu przekroju pręta na płaszczyznę OX_1X_2 , funkcja ζ opisuje spaczenie przekroju. Dla prostego, pryzmatycznego pręta zasadę idealności więzów [1] można napisać w postaci:

$$\int_0^L \left[\int_{\partial F} \mathbf{s} \cdot \delta \chi d(\partial F) + \int_F \rho \mathbf{r} \cdot \delta \chi dF \right] dX_3 + \left[\int_F \mathbf{s} \cdot \delta \chi dF \right] \Big|_{X_3=0}^{X_3=L} = 0, \quad (1.3)$$

gdzie \mathbf{s} oznacza brzegowe, natomiast \mathbf{r} masowe siły reakcji więzów. Eliminując z (1.3) reakcje więzów za pomocą równań ruchu

$$\text{div } \mathbf{T} + \rho \mathbf{b} + \rho \mathbf{r} = \rho \ddot{\chi}, \quad (1.4)$$

(gdzie \mathbf{T} jest pierwszym tensorem ekstra naprężenia Pioli-Kirchhoffa i wyraża reakcję materiału ciała na stan odkształcenia) oraz warunków brzegowych:

$$\mathbf{T} \mathbf{n} = \mathbf{p} + \mathbf{s}, \quad (1.5)$$

(gdzie \mathbf{n} jest jednostkowym wektorem zewnętrznym normalnym do $\partial\Omega$) oraz podstawiając składowe przemieszczeń wirtualnych (z uwzględnieniem (1.2)) otrzymano w [5] równania ruchu i warunki brzegowe dla współrzędnych uogólnionych.

W pracy [6] otrzymano równania teorii skręcania skrępowanego prętów o zwartych przekrojach poprzez narzucenie na ruch pręta opisany w [5] dodatkowych więzów wewnętrznych i warunków brzegowych.

W niniejszej pracy zawężamy rozważania, ograniczając je do prętów o bisymetrycznych przekrojach poprzecznych. Dodatkowe więzy wewnętrzne, narzucone na funkcję spaczenia przekroju przyjmuje się w postaci:

$$\zeta - \varepsilon X_1 X_2 = 0, \quad (1.6)$$

gdzie $\varepsilon = \varepsilon(X_3, t)$ jest nową współrzędną uogólnioną, określającą stopień skrępowania skręcania wzdłuż długości pręta.

Utwierdzenie pręta uniemożliwia przemieszczenia punktów przekroju $X_3 = 0$ (przekrój podporowy nie paczy się, nie wykonuje obrotu i nie przesuwa się w płaszczyźnie OX_1X_2), co realizują geometryczne więzy brzegowe

$$\begin{aligned}\varepsilon(0, t) &= 0, \\ \varphi(0, t) &= 0, \\ \psi_\alpha(0, t) &= 0.\end{aligned}\tag{1.7}$$

W wyniku wprowadzenia dodatkowych więzów (1.6) i (1.7) powstają dodatkowe siły reakcji więzów, które analogicznie jak w pracy [3], wprowadza się do równań ruchu ((2.1) w [5]):

$$\begin{aligned}T_{,j}^{3j} + \varrho b_3 + R_3 &= \varrho \ddot{\chi}_3, \\ Q_{\alpha, 3} + \int_{\partial F} p_\alpha d(\partial F) + \int_F \varrho b_\alpha dF + R_{\varphi_\alpha} &= \int_F \ddot{\chi}_\alpha dF, \\ M_{3, 3} + \int_{\partial F} (p_2 X_1 - p_1 X_2) d(\partial F) + \int_F \varrho (b_2 X_1 - b_1 X_2) dF + R_\varphi &= \int_F \varrho (\chi_2 X_1 - \chi_1 X_2) dF,\end{aligned}\tag{1.8}$$

oraz do warunków brzegowych ((2.3) w [5]):

$$\begin{aligned}T^{3\alpha} n_\alpha - p_3 &= \overset{\circ}{S}_3 && \text{dla } X_1, X_2 \in \partial F, \\ T^{33} n_3 - p_3 &= S_3 && \text{dla } X_3 = 0 \text{ i } X_3 = L, \\ Q_\alpha n_\alpha - \int_F p^\alpha dF &= S_{\varphi_\alpha} && \text{dla } X_3 = 0 \text{ i } X_3 = L, \\ M_3 n_3 - \int_F (p_2 X_1 - p_1 X_2) dF &= S_\varphi && \text{dla } X_3 = 0 \text{ i } X_3 = L,\end{aligned}\tag{1.9}$$

gdzie $Q_\alpha \equiv \int_F T^{\alpha 3} dF$, $M_3 \equiv \int_F (T^{23} X_1 - T^{13} X_2) dF$.

Następnie korzysta się z zasady idealności dla więzów dodatkowych:

$$\begin{aligned}\int_0^L \left\{ \int_{\partial F} \overset{\circ}{S}_3 \delta \zeta d(\partial F) + \int_F R_3 \delta \zeta dF + R_{\varphi_1} \delta \psi_1 + R_{\varphi_2} \delta \psi_2 + R_\varphi \delta \varphi \right\} dX_3 + \\ + \left[\int_F S_3 \delta \zeta dF + S_{\varphi_1} \delta \psi_1 + S_{\varphi_2} \delta \psi_2 + S_\varphi \delta \varphi \right] \Big|_{X_3=0}^{X_3=L} = 0\end{aligned}\tag{1.10}$$

Składowe przemieszczeń wirtualnych po uwzględnieniu (1.2) i (1.6) przybierają postać:

$$\begin{aligned}\delta \chi_1 &= -X_2 \delta \varphi + \delta \psi_1, \\ \delta \chi_2 &= X_1 \delta \varphi + \delta \psi_2, \\ \delta \chi_3 &= X_1 X_2 \delta \varepsilon.\end{aligned}\tag{1.11}$$

Eliminując z (1.10) dodatkowe siły reakcji więzów za pomocą (1.8) i (1.9) oraz stosując lemat du Bois-Reymonda i twierdzenie o divergencji otrzymuje się następujący układ równań ruchu

$$\begin{aligned}
& \int_F [T_{,3}^{33} X_1 X_2 - T^{3\alpha} (X_1 X_2)_{, \alpha}] dF + \int_{\partial F} p_3 X_1 X_2 d(\partial F) + \\
& + \int_F \varrho b_3 X_1 X_2 dF = \int_F \varrho \ddot{X}_1^2 X_2^2 dF, \\
& \int_F T_{,3}^{13} dF + \int_{\partial F} p_1 d(\partial F) + \int_F \varrho b_1 dF = \int_F \varrho (\dot{\psi}_1 - \ddot{\psi} X_2) dF, \\
& \int_F T_{,3}^{23} dF + \int_{\partial F} p_2 d(\partial F) + \int_F \varrho b_2 dF = \int_F \varrho (\dot{\psi}_2 + \ddot{\psi} X_1) dF, \\
& \int_F (T_{,3}^{23} X_1 - T_{,3}^{13} X_2) dF + \int_{\partial F} (p_2 X_1 - p_1 X_2) d(\partial F) + \\
& + \int_F \varrho (b_2 X_1 - b_1 X_2) dF = \int_F \varrho [\dot{\psi}_2 X_1 - \dot{\psi}_1 X_2 + \ddot{\psi} (X_1^2 + X_2^2)] dF,
\end{aligned} \tag{1.12}$$

oraz warunki brzegowe dla $X_3 = 0$ i $X_3 = L$:

$$\begin{aligned}
& \int_F (T^{33} n_3 - p_3) X_1 X_2 dF = 0, \\
& \int_F T^{\alpha 3} dF n_3 - \int_F p_\alpha dF = 0, \\
& \int_F (T^{23} X_1 - T^{13} X_2) dF n_3 - \int_F (p_2 X_1 - p_1 X_2) dF = 0.
\end{aligned} \tag{1.13}$$

W dalszym ciągu ogranicza się rozważania do jednorodnych, izotropowych materiałów, dla których:

$$\begin{aligned}
T^{11} = T^{22} &= C^{1133} \zeta_{,3} = \lambda X_1 X_2 \varepsilon_{,3}, \\
T^{12} = T^{21} &= C^{1233} \zeta_{,3} = 0, \\
T^{13} = T^{31} &= C^{1313} (\zeta_{,1} + \psi_{1,3} - \varphi_{,3} X_2) = \mu (X_2 \varepsilon + \psi_{1,3} - X_2 \varphi_{,3}), \\
T^{23} = T^{32} &= C^{2323} (\zeta_{,2} + \psi_{2,3} + \varphi_{,3} X_1) = \mu (X_1 \varepsilon + \psi_{2,3} + X_1 \varphi_{,3}), \\
T^{33} &= C^{3333} \zeta_{,3} = (\lambda + 2\mu) X_1 X_2 \varepsilon_{,3}.
\end{aligned} \tag{1.14}$$

Podstawiając (1.14) do (1.12) otrzymuje się układ czterech równań różniczkowych dla czterech współrzędnych uogólnionych:

$$\begin{aligned}
(\lambda + 2\mu) I \varepsilon_{,33} - \mu I_0 \varepsilon - \mu I_s \varphi_{,3} + \int_{\partial F} p_3 X_1 X_2 d(\partial F) + \varrho \int_F b_3 X_1 X_2 dF &= \varrho I \ddot{\varepsilon}, \\
\mu I_s \varepsilon_{,3} + \mu I_0 \varphi_{,33} + \int_{\partial F} (p_2 X_1 - p_1 X_2) d(\partial F) + \varrho \int_F (b_2 X_1 - b_1 X_2) dF &= \varrho I_0 \ddot{\varphi}, \\
\mu F \psi_{\alpha,33} + \int_{\partial F} p_\alpha d(\partial F) + \varrho \int_F b_\alpha dF &= \varrho \ddot{\psi}_\alpha F,
\end{aligned} \tag{1.15}$$

natomiast po podstawieniu do (1.13) otrzymuje się warunki brzegowe dla $X_3 = 0$ i $X_3 = L$:

$$\begin{aligned}
 (\lambda + 2\mu)I\varepsilon_{,3}n_3 - \int_F p_3 X_1 X_2 dF &= 0, \\
 \mu(I_s \varepsilon + I_0 \varphi_{,3})n_3 - \int_F (p_2 X_1 - p_1 X_2) dE &= 0, \\
 \mu F \psi_{\alpha,3} n_3 - \int_F p_1 dF &= 0,
 \end{aligned} \tag{1.16}$$

gdzie $I_1 = \int_F X_2^2 dF$ i $I_2 = \int_F X_1^2 dF$ są głównymi, centralnymi momentami bezwładności przekroju, $I_0 = I_1 + I_2$, $I_s = I_2 - I_1$, $I = \int_F X_1^2 X_2^2 dF$.

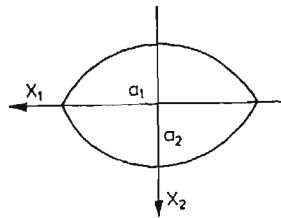
Po wyznaczeniu współrzędnych uogólnionych ε , φ , ψ_α z równań ruchu (1.15) i warunków brzegowych (1.16) uwzględniając sposób podparcia pręta (1.7) można wyznaczyć składowe stanu przemieszczenia $u_i(X, t)$ z (1.2) i (1.6), składowe stanu naprężenia T^{ij} z (1.14), siły reakcji więzów ze wzorów (1.4) i (1.5) oraz dodatkowe siły reakcji więzów z zależności (1.8) i (1.9).

Stosując kryterium fizycznej poprawności więzów modelowych, przedstawione w pracy [1], należy pamiętać o tym, że modelowymi są tylko więzy opisane za pomocą zależności (1.2) i (1.6), natomiast geometryczne warunki brzegowe (1.7) są więzami fizycznymi.

Należy zauważyć, że układ równań (1.15) ma złożoną budowę i w ogólnym przypadku efektywne rozwiązanie można otrzymać na drodze numerycznej. Tylko w szczególnych przypadkach można otrzymać rozwiązanie analityczne, np. dla pręta o przekroju eliptycznym. Jest to tematem rozważań następnego rozdziału pracy.

2. Skręcanie wspornika o przekroju eliptycznym

Rozpatruje się pryzmatyczny, jednorodny, izotropowy pręt o długości L i przekroju poprzecznym w kształcie elipsy (rys. 2.). Osie X_1 , X_2 układu współrzędnych kartezjańskich $O X_1 X_2 X_3$ są zarazem głównymi, centralnymi osiami bezwładności przekroju. Pręt jest



Rys. 2.

sztynno utwierdzony w przekroju $X_3 = 0$, natomiast na swobodnym końcu obciążony jest w sposób statyczny momentem skręcającym $M_s = \int_F (p_2 X_1 - p_1 X_2) dF$; ($\int_F p_1 dF = 0$, $\int_F p_2 dF = 0$). Pomija się wpływ zewnętrznych obciążeń masowych.

Uwzględniając sposób obciążenia pręta otrzymuje się układ równań (1.15) z niewiadomymi współrzędnymi uogólnionymi $\varepsilon(X_3)$, $\varphi(X_3)$, $\psi_\alpha(X_3)$ w postaci układu dwóch

równań różniczkowych zwyczajnych sprzężonych i dwóch równań różniczkowych zwyczajnych separowanych.

$$\begin{aligned}(\lambda + 2\mu)I\varepsilon_{,33} - \mu I_0 \varepsilon - \mu I_s \varphi_{,3} &= 0, \\ I_s \varepsilon_{,3} + I_0 \varphi_{,33} &= 0, \\ \psi_{\alpha,33} &= 0,\end{aligned}\quad (2.1)$$

natomiast warunki brzegowe (1.16) dla $X_3 = 0$ w postaci:

$$\begin{aligned}(\lambda + 2\mu)I\varepsilon_{,3} + \int_F p_3 X_1 X_2 dF &= 0, \\ \mu I_s \varepsilon + \mu I_0 \varphi_{,3} + \int_F (p_2 X_1 - p_1 X_2) dF &= 0, \\ \mu F \psi_{\alpha,3} + \int_F p_\alpha dF &= 0,\end{aligned}\quad (2.2)$$

zaś dla $X_3 = L$ w postaci:

$$\begin{aligned}\varepsilon_{,3} &= 0, \\ \mu I_s \varepsilon + \mu I_0 \varphi_{,3} - M_s &= 0, \\ \psi_{\alpha,3} &= 0.\end{aligned}\quad (2.3)$$

Utwierdzenie pręta w przekroju podporowym realizują geometryczne więzy brzegowe:

$$\begin{aligned}\varepsilon(0) &= 0, \\ \varphi(0) &= 0, \\ \psi_\alpha(0) &= 0.\end{aligned}\quad (2.4)$$

Rozwiązując układ równań (2.1) przy uwzględnieniu (2.2), (2.3) i (2.4) otrzymuje się współrzędne uogólnione:

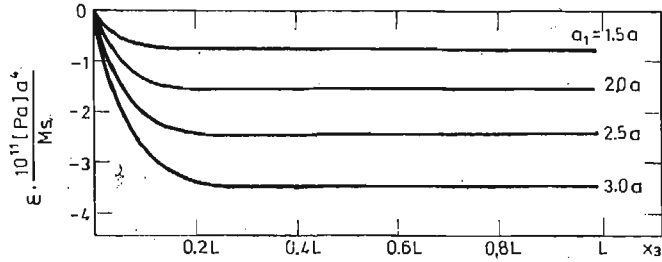
$$\begin{aligned}\varepsilon &= -\frac{M_s I_s}{\mu(I_0^2 - I_s^2)} + \frac{M_s I_s}{\mu(I_0^2 - I_s^2)} [\operatorname{ch}(kX_3) - \operatorname{th}(kL) \operatorname{sh}(kX_3)], \\ \varphi &= \frac{M_s I_0}{\mu(I_0^2 - I_s^2)} X_3 + \frac{M_s I_s^2}{k\mu I_0(I_0^2 - I_s^2)} \{-\operatorname{sh}(kX_3) + \operatorname{th}(kL) [\operatorname{ch}(kX_3) - 1]\}, \\ \psi_\alpha &\equiv 0,\end{aligned}\quad (2.5)$$

gdzie: $k = \sqrt{\frac{\mu(I_0^2 - I_s^2)}{(\lambda + 2\mu)I I_0}}$.

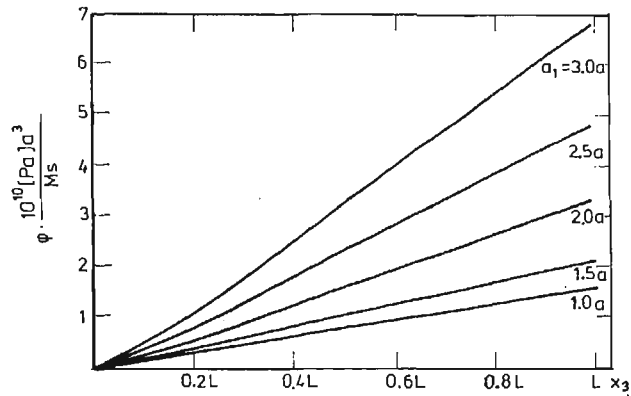
Podkreślone człony w wyrażeniach (2.5) opisujących ε i φ powstają w wyniku skęrcania pręta zgodnie z więzami modelowymi (1.2), (1.6), pozostałe są spowodowane narzuceniem więzów fizycznych (2.4) opisujących podparcie pręta. Ten sposób rozróżnienia zachowany zostanie w dalszych rozważaniach.

Przeprowadzono analizę wpływu utwierdzenia i proporcji wymiarów przekroju na funkcje ε i φ . Rozpatrywano pręty z materiału o stałych materiałowych $E = 2,1 \cdot 10^5$ MPa i $\nu = 0,3$, o polu powierzchni przekroju poprzecznego równym polu koła o promieniu a . Poziomą półoś elipsy przyjęto kolejno równą $a, 1,5a, 2a, 2,5a, 3a$.

Rys. 3 i 4 przedstawiają wykresy funkcji ε i φ dla prętów o długości $L = 20a$. Funkcja ε osiąga stałą wartość poczynając od współrzędnej $X_3 = 0,3L$, natomiast φ staje się liniowa poczynając od $X_3 = 0,2L$.



Rys. 3.



Rys. 4.

Podobny charakter wykresów otrzymano dla większych długości pręta (z przedziału $\langle 20a, 40a \rangle$) — wykresy stawały się liniowe w odpowiednio proporcjonalnych odległościach od przekroju utwierdzenia.

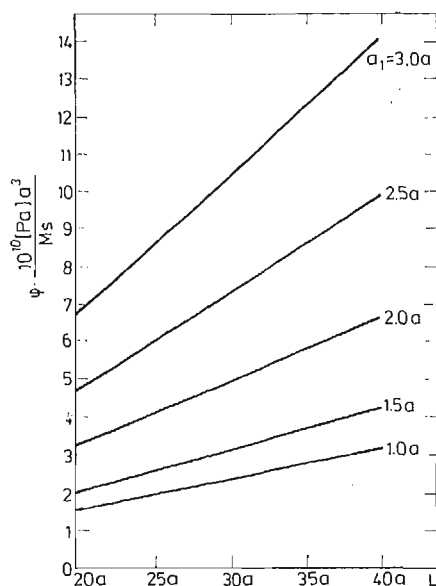
Stwierdzono, że długość pręta praktycznie nie ma wpływu na wartości funkcji ε — zależą one przede wszystkim od kształtu przekroju.

Inaczej jest w przypadku funkcji φ . Liniową zależność wielkości kąta skręcania końca wspornika od długości pręta dla różnych proporcji wymiarów przekroju elipsy pokazano na rys. 5.

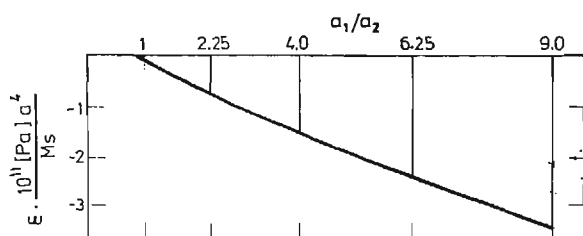
Rys. 6 i 7 przedstawiają wpływ kształtu przekroju na funkcje ε i φ na swobodnym końcu wspornika o długości $20a$.

Na rys. 8 linia krzywa opisuje zmianę kąta φ wyrażonego wzorem (2.5) wzdłuż długości pręta dla wspornika o $L = 20a$, $a_1 = 2a$, zaś linia prosta przedstawia wartości podkreślonego członu w wyrażeniu (2.5) na kąt φ (a więc względny kąt skręcenia w przypadku pręta skręcanego swobodnie).

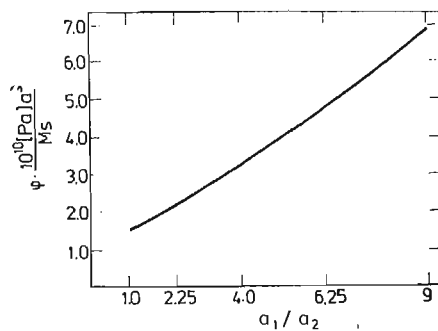
Im bardziej kształt przekroju elipsy odbiega od przekroju kołowego tym większy staje się wpływ zamocowania na ostateczną wartość kąta skręcenia. Rys. 9 przedstawia względną



Rys. 5.



Rys. 6.

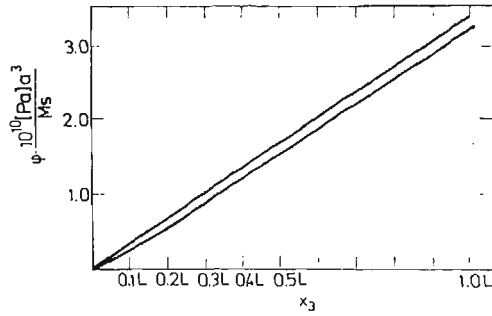


Rys. 7.

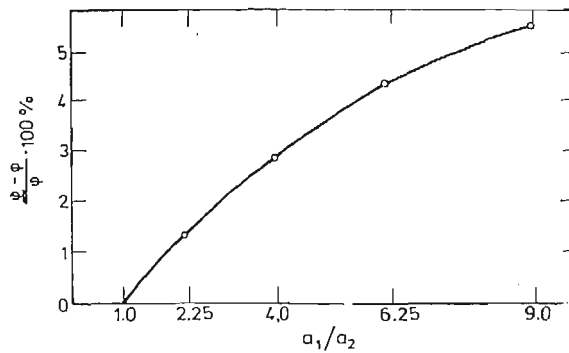
różnicę kątów skręcenia w przypadku skręcania swobodnego i skrępowanego dla różnych proporcji półosi elipsy.

Po podstawieniu (2.5) do (1.14) otrzymuje się składowe stanu naprężenia w następującej postaci:

$$\begin{aligned}
 T^{11} &= T^{22} = \frac{\lambda M_s I_s k}{\mu(I_0^2 - I_s^2)} [\text{sh}(kX_3) - \text{th}(kL) \text{ch}(kX_3)] X_1 X_2, \\
 T^{12} &= 0, \\
 T^{13} &= - \frac{M_s I_0 + I_s}{I_0^2 - I_s^2} X_2 + \frac{M_s I_s (I_0 + I_s)}{I_0(I_0^2 - I_s^2)} \\
 &\quad [\text{ch}(kX_3) - \text{th}(kL) \text{sh}(kX_3)] X_2,
 \end{aligned} \tag{2.6}$$



Rys. 8.



Rys. 9.

$$T^{23} = \frac{M_s(I_0 - I_s)}{I_0^2 - I_s^2} X_1 + \frac{M_s I_s (I_0 - I_s)}{I_0 (I_0^2 - I_s^2)} [\text{ch}(kX_3) - \text{th}(kL) \text{sh}(kX_3)] X_1,$$

$$T^{33} = \frac{(\lambda + 2\mu) M_s I_s k}{\mu (I_0^2 - I_s^2)} [\text{sh}(kX_3) - \text{th}(kL) \text{ch}(kX_3)] X_1 X_2.$$

Podstawiając (2.6) do (1.4) i (1.8) otrzymuje się te siły reakcji więzów, które występują wewnątrz obszaru Ω

$$\begin{aligned} q r_1 &= -T_{,j}^{1j} = - \frac{[I_0 \lambda + (I_0 + I_s) \mu] M_s I_s k}{\mu I_0 (I_0^2 - I_s^2)} [\text{sh}(kX_3) - \text{th}(kL) \text{ch}(kX_3)] X_2, \\ q r_2 &= -T_{,j}^{2j} = - \frac{[I_0 \lambda + (I_0 - I_s) \mu] M_s I_s k}{\mu I_0 (I_0^2 - I_s^2)} [\text{sh}(kX_3) - \text{th}(kL) \text{ch}(kX_3)] X_1, \\ R_3 &= -T_{,j}^{3j} = - \frac{(\lambda + 2\mu) M_s I_s k^2}{\mu (I_0^2 - I_s^2)} [\text{ch}(kX_3) - \text{th}(kL) \text{sh}(kL)] X_1 X_2, \end{aligned} \quad (2.7)$$

$$R_{\nu_\alpha} = \int_F T_{,3}^{\alpha 3} dF \equiv 0, \quad R_\varphi = \int_F (T_{,3}^{23} X_1 - T_{,3}^{13} X_2) dF = 0.$$

Siły reakcji więzów na $\partial\Omega$ można obliczyć podstawiając (2.6) do (1.5) i (1.9).

Na poboczniczy pręta (dla $X_1, X_2 \in \partial F$ i $X_3 \in (0, L)$) otrzymuje się następujące siły reakcji więzów:

$$\begin{aligned} \dot{S}_1 &= T^{1\alpha} n_\alpha = \frac{\lambda M_s I_s k}{\mu(I_0^2 - I_s^2)} [\text{sh}(kX_3) - \text{th}(kL) \text{ch}(kX_3)] X_1 X_2 n_1, \\ \dot{S}_2 &= T^{2\alpha} n_\alpha = \frac{\lambda M_s I_s k}{\mu(I_0^2 - I_s^2)} [\text{sh}(kX_3) - \text{th}(kL) \text{ch}(kX_3)] X_1 X_2 n_2, \\ \dot{S}_3 &= T^{3\alpha} n_\alpha = \frac{M_s}{I_0^2 - I_s^2} [-(I_0 + I_s) X_2 n_1 + (I_0 - I_s) X_1 n_2] + \\ &\quad + \frac{M_s I_s}{I_0(I_0^2 - I_s^2)} [\text{ch}(kX_3) - \text{th}(kL) \text{sh}(kX_3)] [(I_0 + I_s) X_2 n_1 + (I_0 - I_s) X_1 n_2]. \end{aligned} \quad (2.8)$$

Dla elipsy jak na rys. 2 składowe wektora zewnętrznemu normalnego do brzegu mają składowe:

$$n_1 = \frac{a_2^2 X_1}{\sqrt{a_1^4 X_2^2 + a_2^4 X_1^2}}; \quad n_2 = \frac{a_1^2 X_2}{\sqrt{a_1^4 X_2^2 + a_2^4 X_1^2}}, \quad (2.9)$$

w związku z tym podkreślony człon w wyrażeniu \dot{S}_3 jest równy zeru.

W przekrojach końcowych pręta występują następujące siły reakcji więzów:

$$\begin{aligned} S_1 &= T^{13} n_3 - p_1 = \left\{ -\frac{M_s X_2}{I_0 - I_s} + \frac{M_s I_s X_2}{I_0(I_0 - I_s)} [\text{ch}(kX_3) - \text{th}(kL) \text{sh}(kX_3)] \right\} n_3 - p_1, \\ S_2 &= T^{23} n_3 - p_2 = \left\{ \frac{M_s X_1}{I_0 + I_s} + \frac{M_s I_s X_1}{I_0(I_0 + I_s)} [\text{ch}(kX_3) - \text{th}(kL) \text{sh}(kX_3)] \right\} n_3 - p_2, \\ S_3 &= T^{33} n_3 - p_3 = \frac{(\lambda + 2\mu) M_s I_s k}{\mu(I_0^2 - I_s^2)} [\text{sh}(kX_3) - \text{th}(kL) \text{ch}(kX_3)] X_1 X_2 n_3 - p_3, \\ S_{\nu_\alpha} &= \int_F T^{\alpha 3} dF n_3 - \int_F p_\alpha dF \equiv 0, \\ S_\varphi &= \int_F (T^{23} X_1 - T^{13} X_2) dF n_3 - \int_F (p_2 X_1 - p_1 X_2) dF \equiv 0. \end{aligned} \quad (2.10)$$

W przekroju podporowym ($X_3 = 0, n_3 = -1$) otrzymujemy zatem różne od zera siły reakcji więzów:

$$\begin{aligned} S_1 &= \frac{M_s X_2}{I_0 - I_s} - \frac{M_s I_s X_2}{(I_0 - I_s) I_0} - p_1, \\ S_2 &= -\frac{M_s X_1}{I_0 + I_s} - \frac{M_s I_s X_1}{(I_0 + I_s) I_0} - p_2, \\ S_3 &= \frac{(\lambda + 2\mu) M_s I_s k}{\mu(I_0^2 - I_s^2)} \text{th}(kL) X_1 X_2 - p_3, \end{aligned} \quad (2.11)$$

natomiast w przekroju $X_3 = L$, $n_3 = 1$ występują następujące siły reakcji więzów:

$$\begin{aligned} S_1 &= -\frac{M_s X_2}{I_0 - I_s} + \frac{M_s I_s X_2}{(I_0 - I_s) I_0 \operatorname{ch}(kL)} - p_1, \\ S_2 &= \frac{M_s X_1}{I_0 + I_s} + \frac{M_s I_s X_1}{(I_0 + I_s) I_0 \operatorname{ch}(kL)} - p_2, \\ S_3 &\equiv 0. \end{aligned} \quad (2.12)$$

Jak wynika z powyższych obliczeń zastosowane w niniejszej pracy więzy wewnętrzne wywołują siły reakcji więzów modelowych jedynie w końcowych przekrojach pręta. Stanowią one część sił reakcji więzów S_α (dopełnienie stanowią siły reakcji więzów fizycznych, spowodowane sposobem podparcia pręta). Nie jest możliwe rozdzielenie tych sił reakcji, ponieważ nie wiadomo, jaka część siły p_α przypada na więzy modelowe, a jaka na fizyczne.

Przyjmując rozkład obciążenia zewnętrznego w postaci

$$\begin{aligned} p_1 &= -\frac{M_s X_2}{I_0 - I_s} + \frac{M_s I_s X_2}{(I_0 - I_s) I_0 \operatorname{ch}(kL)}, \\ p_2 &= \frac{M_s X_1}{I_0 + I_s} + \frac{M_s I_s X_1}{(I_0 + I_s) I_0 \operatorname{ch}(kL)}, \end{aligned} \quad (2.13)$$

(spełnione są warunki $\int_F p_\alpha = 0$, $\int_F (p_2 X_1 - p_1 X_2) dF = M_s$), otrzymuje się siły reakcji więzów modelowych i fizycznych na końcu swobodnym (dla $X_3 = L$) równe zero. Można zatem stwierdzić, że przyjęty model jest dobry i spełnia warunek fizycznej poprawności.

Interesujące jest rozpatrzenie przypadku szczególnego, a mianowicie skręcanego wspornika o przekroju kołowym. Wówczas $a_1 = a_2 = a$, zaś $I_s = 0$. W związku z tym znikają wszystkie siły reakcji więzów modelowych i fizycznych wewnątrz obszaru Ω i na poboczniczy. Pozostają jedynie siły reakcji więzów modelowych na końcach pręta:

$$\begin{aligned} S_1 &= -\frac{M_s X_2}{I_0} n_3 - p_1, \\ S_2 &= \frac{M_s X_1}{I_0} n_3 - p_2, \end{aligned} \quad (2.14)$$

które także znikają na końcu swobodnym w przypadku rozkładu obciążenia zewnętrznego w tym przekroju w postaci:

$$p_1 = -\frac{M_s X_2}{I_0}, \quad p_2 = \frac{M_s X_1}{I_0}. \quad (2.15)$$

Znikanie więzów fizycznych jest w tym przypadku oczywiste. Przekroje pręta okrągłego ze względu na osiową symetrię nie ulegają spaczeniu, w związku z tym jest równa zero funkcja ε , określająca stopień skrępowania wzdłuż długości pręta, a kąt obrotu φ jest wówczas liniowo zależny od współrzędnej X_3 (tak jak w przypadku skręcania swobodnego).

Literatura

1. Cz. WOŹNIAK, *Wstęp do mechaniki analitycznej kontinuum materialnego*, Dynamika układów sprężystych — praca zbiorowa, Wrocław 1976.
2. A. i L. FÖPPL, *Drang und Zwang*, Monachium—Berlin 1944, t. 2.
3. J. NOWIŃSKI, *Skręcanie pręta prostopadłościennego, którego jeden przekrój pozostaje płaski*, Arch. Mech. Stos., 1, 1953.
4. W. BURZYŃSKI, *O niedomaganiach i koniecznych uzupełnieniach de Saint-Venantowskiej teorii prętów prostych*, Prace Wrocławskiego Towarzystwa Naukowego, Seria B, nr 42, Wrocław 1951.
5. K. MAZUR-ŚNIADY, *Some problems of torsion of prismatic rods as bodies with internal constraints*, Bull. Acad. Polon. Sci., sci. techn., 22, 1974, s. 389 - 397.
6. K. MAZUR-ŚNIADY, *Skręcanie przyzmatycznych prętów jako ciał z wewnętrznymi więzami*, Mechanika Teoretyczna i Stosowana, 4, 17, 1979, s. 553 - 565.

Praca wykonana w ramach C.P.B.P.01.02.

Резюме

СТЕСНЁННОЕ КРУЧЕНИЕ ПРИЗМАТИЧЕСКИХ СТЕРЖНЕЙ О БИСИММЕТРИЧНЫХ СПЛОШНЫХ СЕЧЕНИЯХ

Темой работы является вывод технической теории стесненного кручения призматических стержней о бисимметричных, сплошных сечениях на основе механики тел с внутренними связями [1]. В примере рассматривается однородную, изотропную консоль о поперечном сечении в виде эллипса. Консоль нагружена крутящим моментом на свободном конце. Получается аналитическое решение проблемы и анализируется влияние соотношения полуосей эллипса на величины угла кручения и функции стеснения кручения.

Summary

CONSTRAINED TORSION OF PRISMATIC ROD WITH BISYMMETRIC COMPACT CROSS-SECTION

The aim of the present paper is to derive technical theory of constrained torsion of prismatic rods with bisymmetric compact cross-section on the basis of the theory of bodies with internal constraints [1]. In an example a homogeneous, isotropic cantilever of an elliptic cross-section is studied loaded by a torsion moment in unconstrained cross-section. The analytical solution of the problem is obtained. The influence of the shape of the cross-section on the angle rotation and on constrain function is examined.

Praca wpłynęła do Redakcji dnia 9 lutego 1987 roku.